

Fig. 3

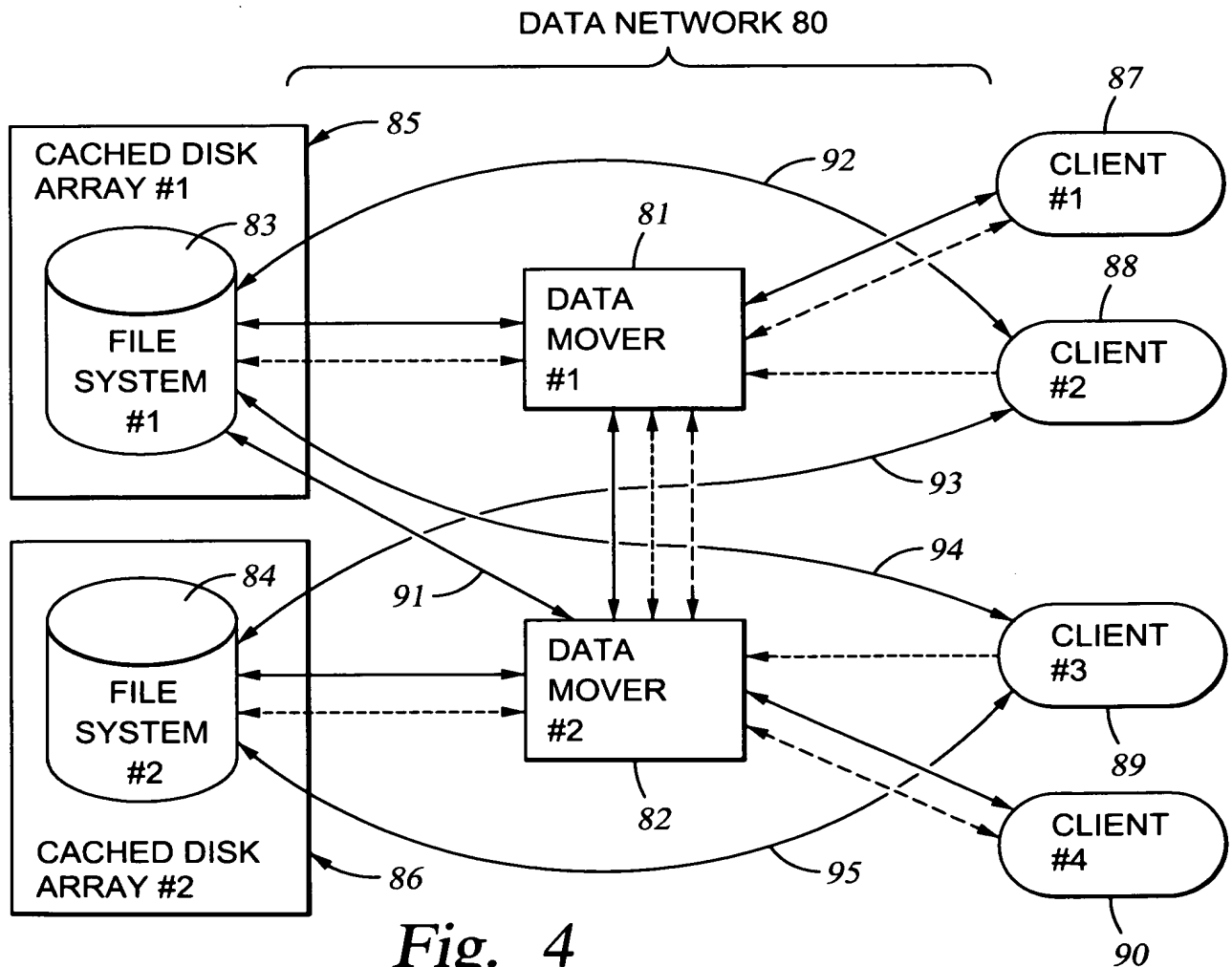
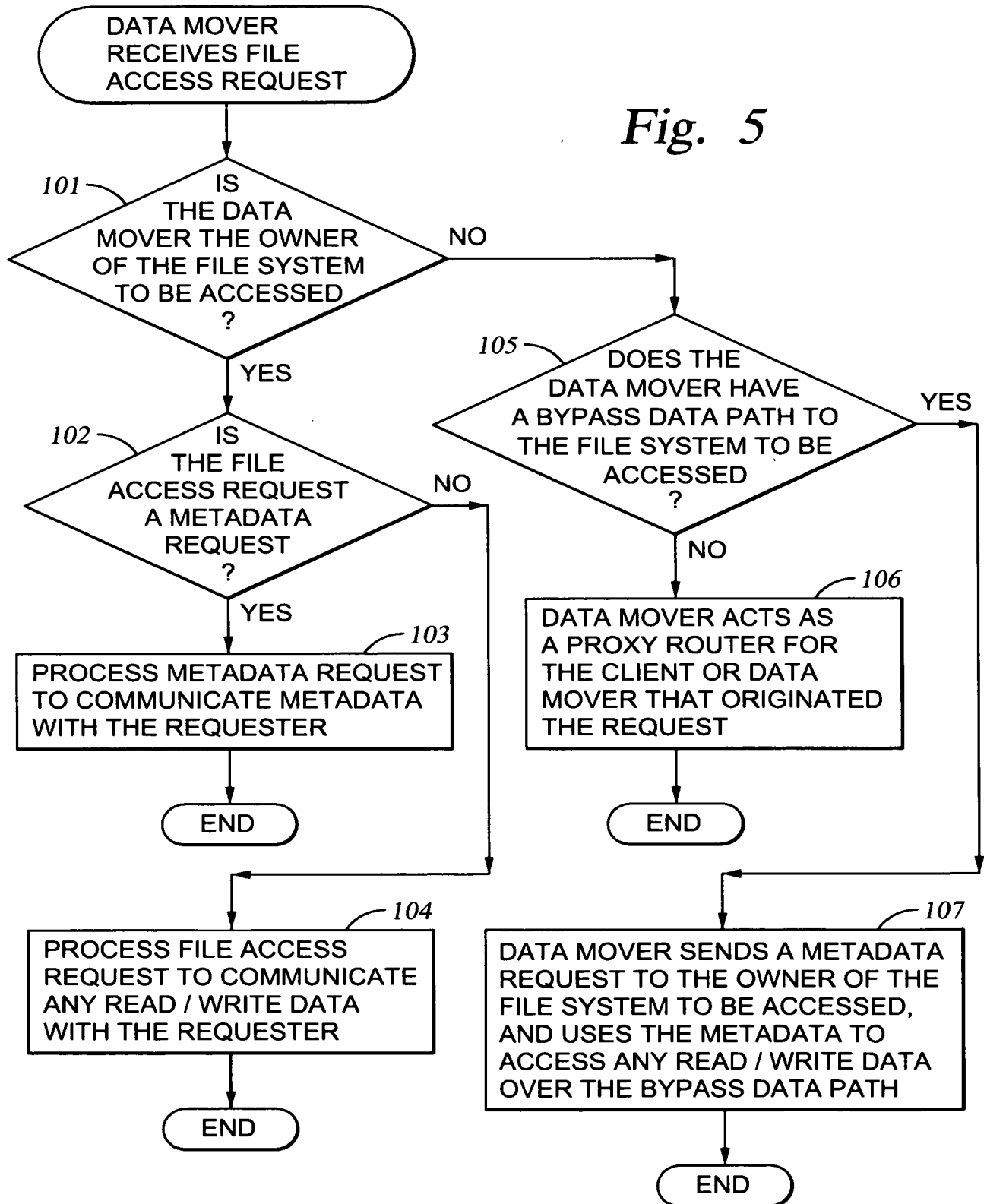
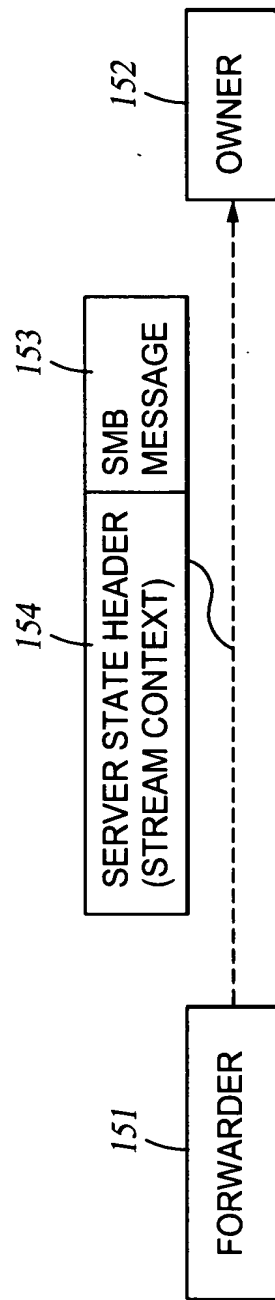
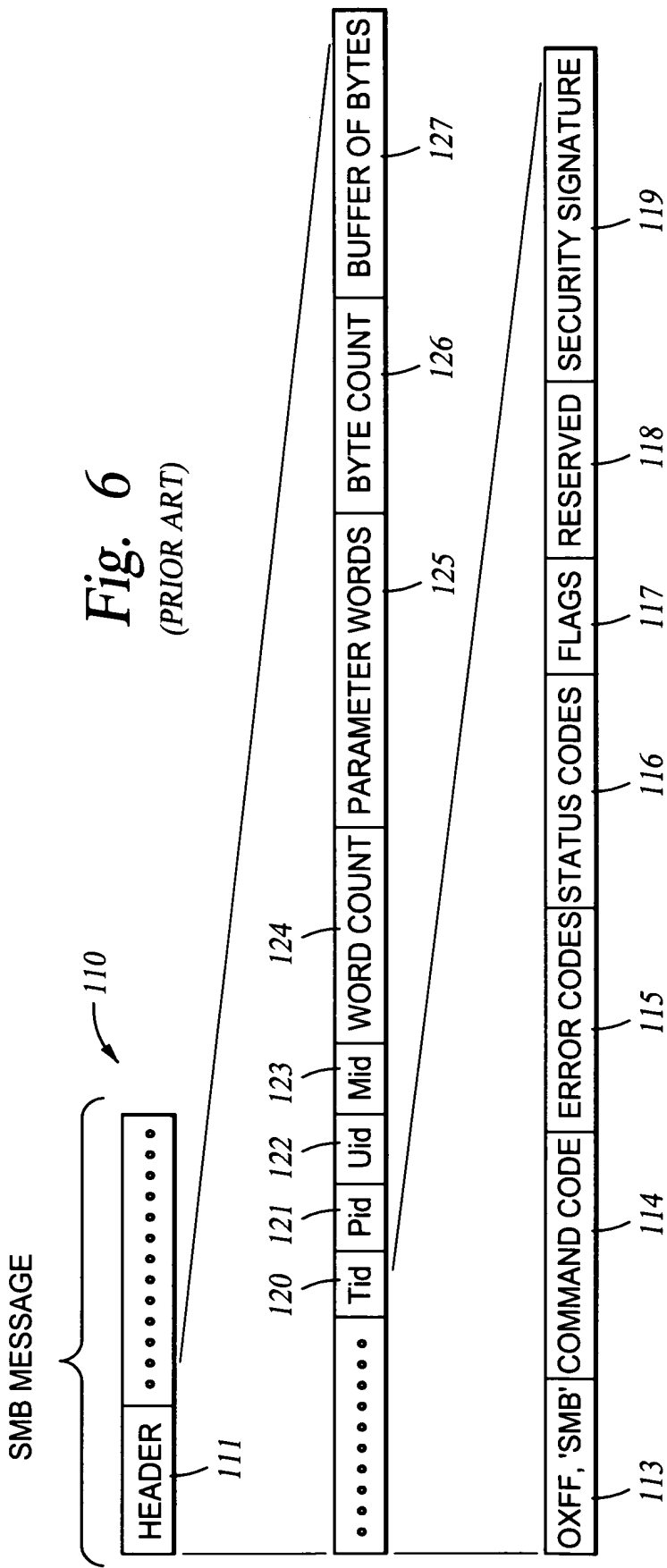


Fig. 4

Fig. 5





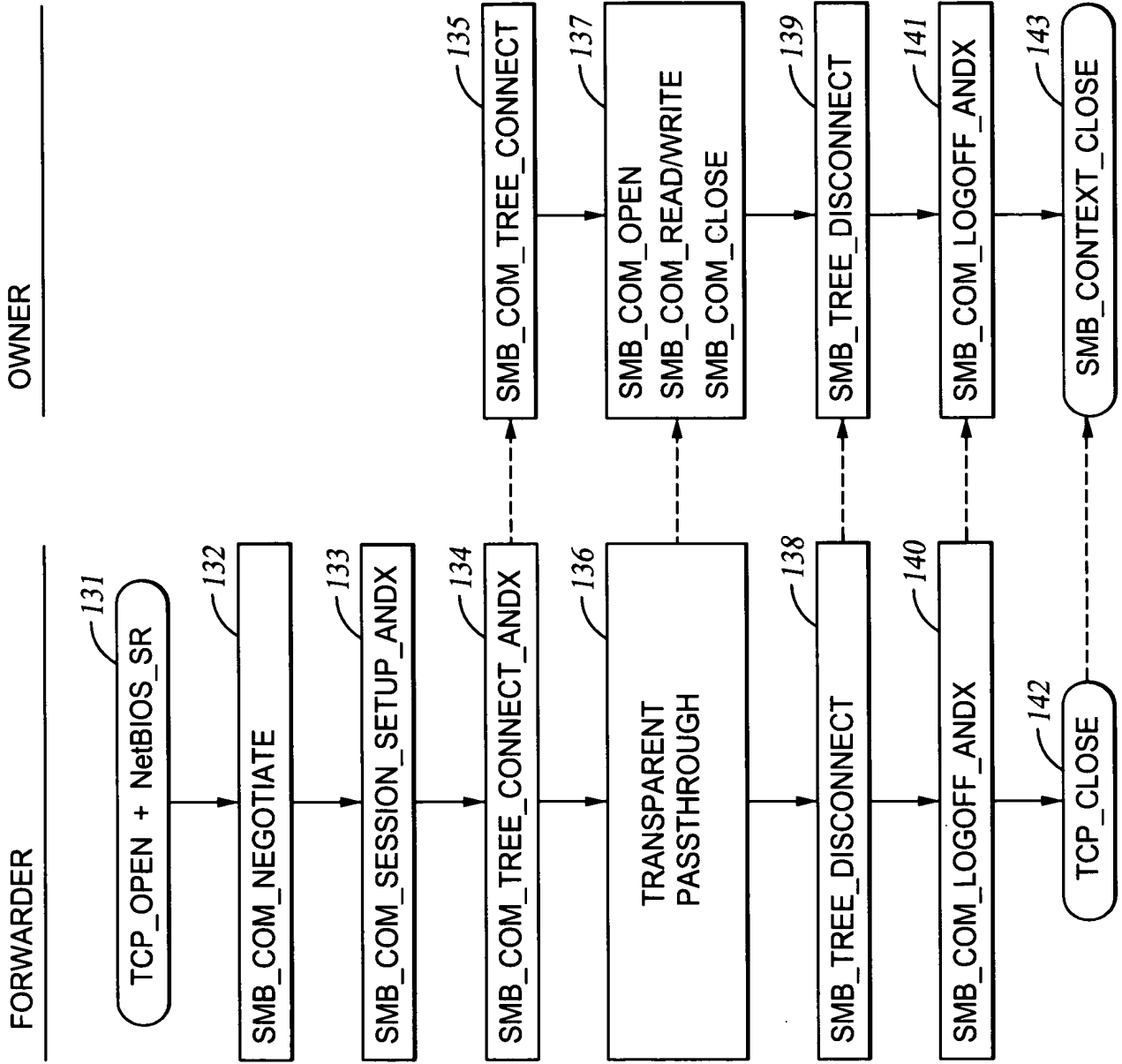


Fig. 7

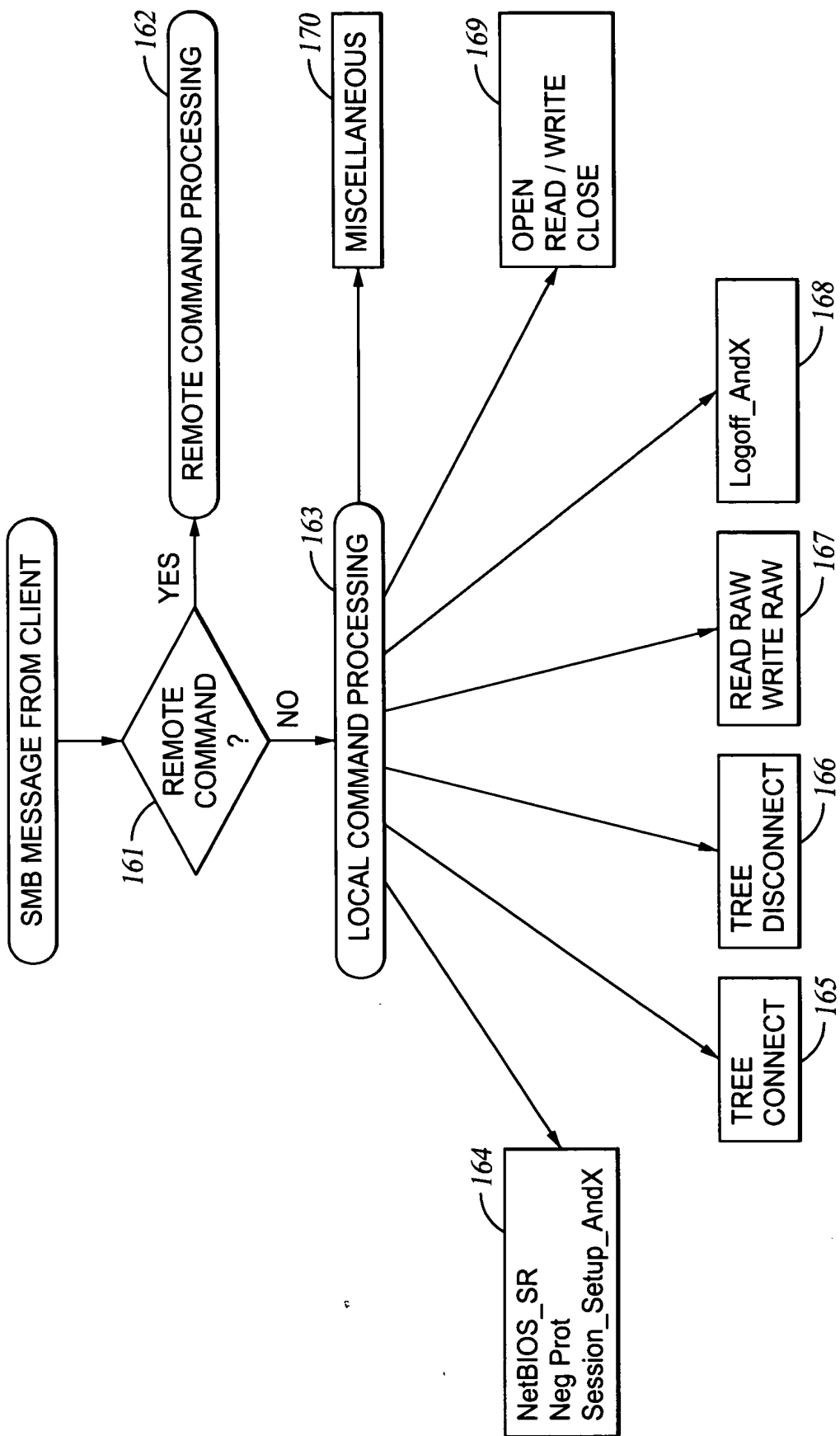


Fig. 9

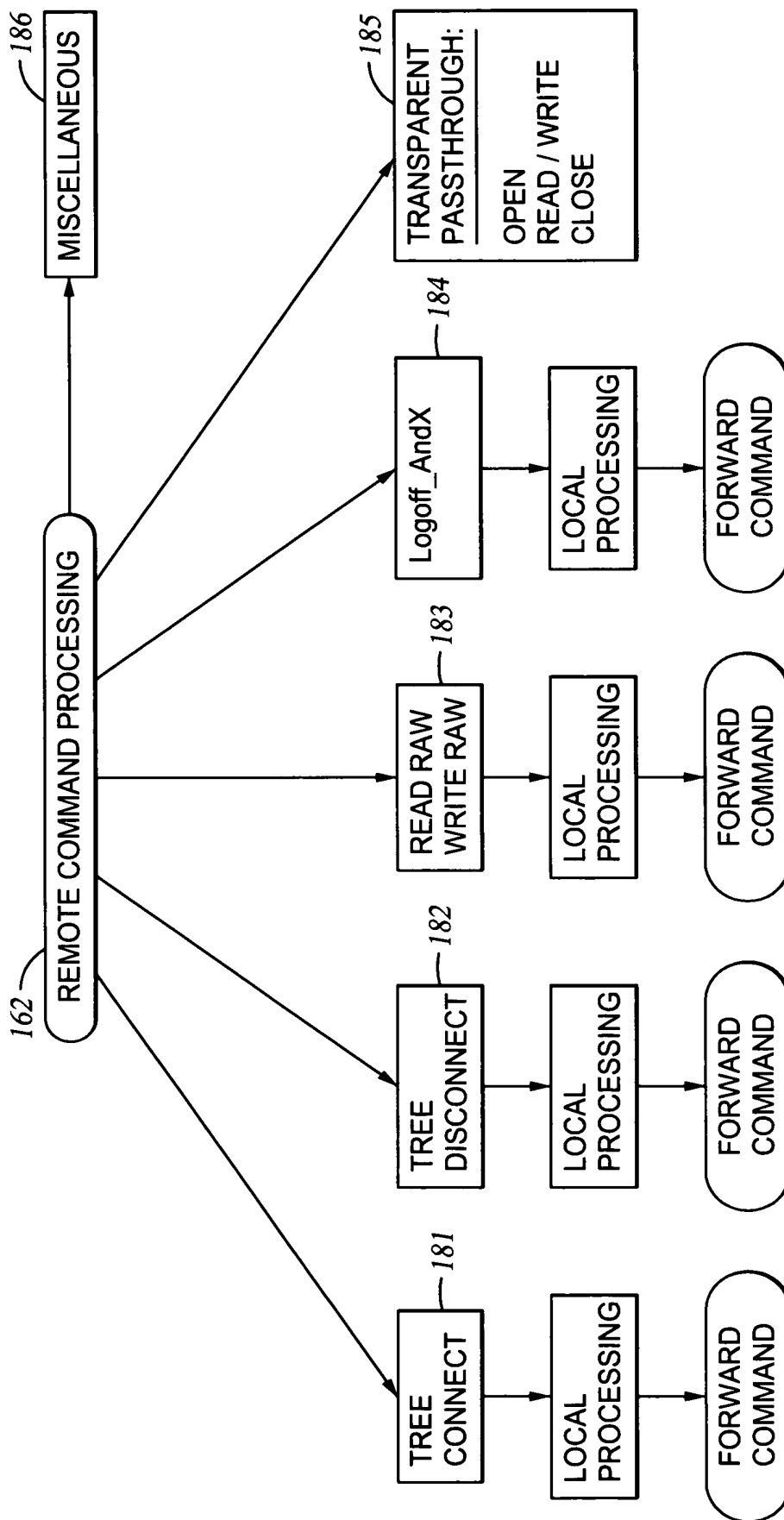


Fig. 10

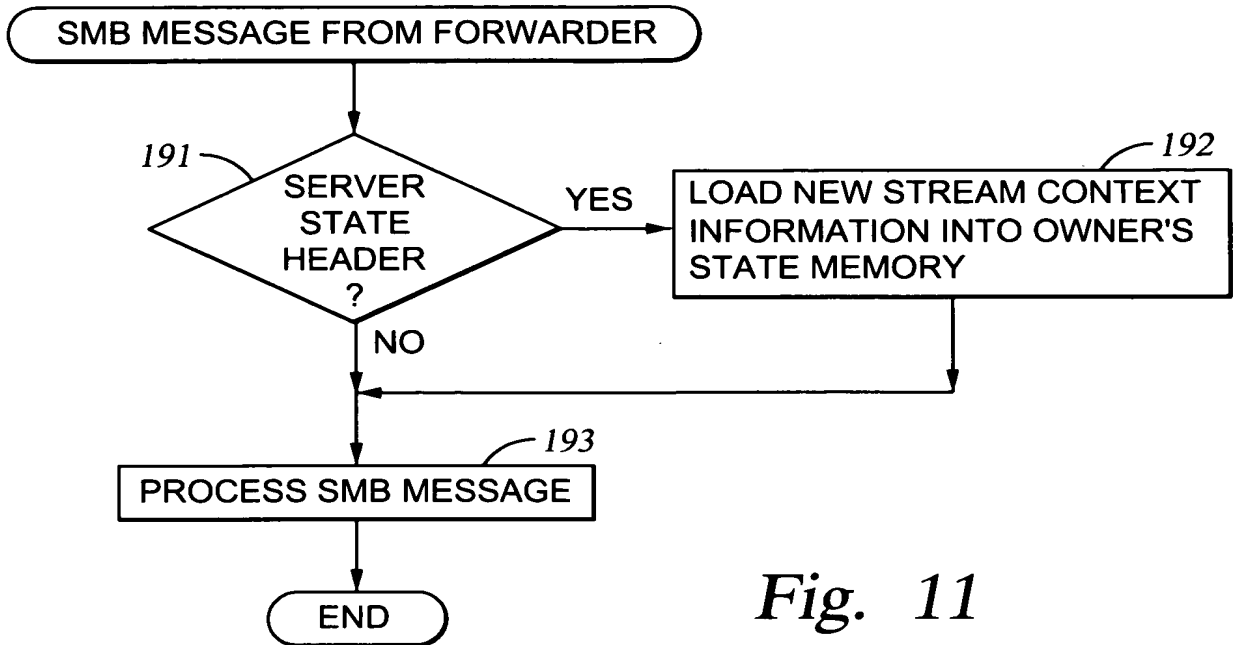


Fig. 11

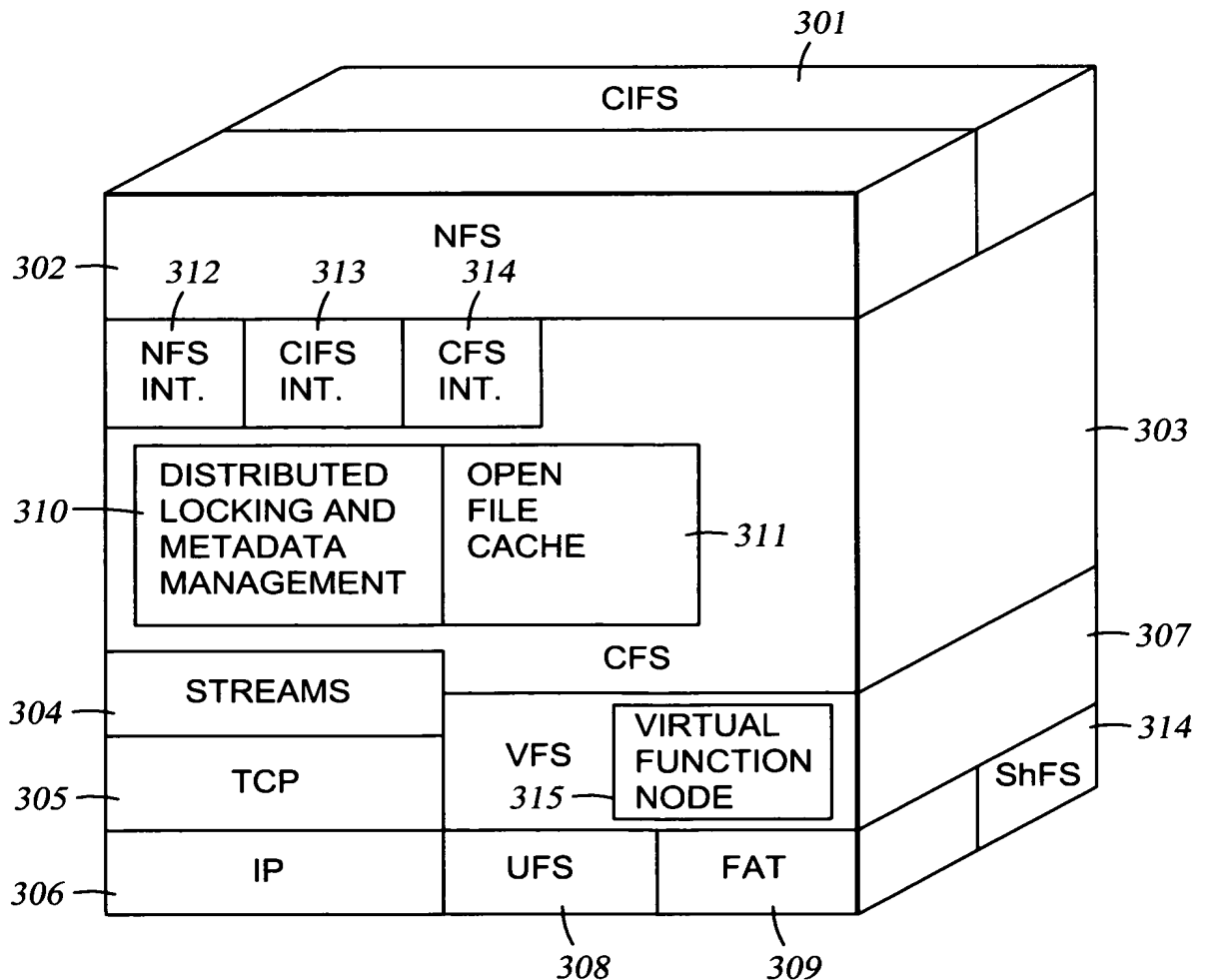
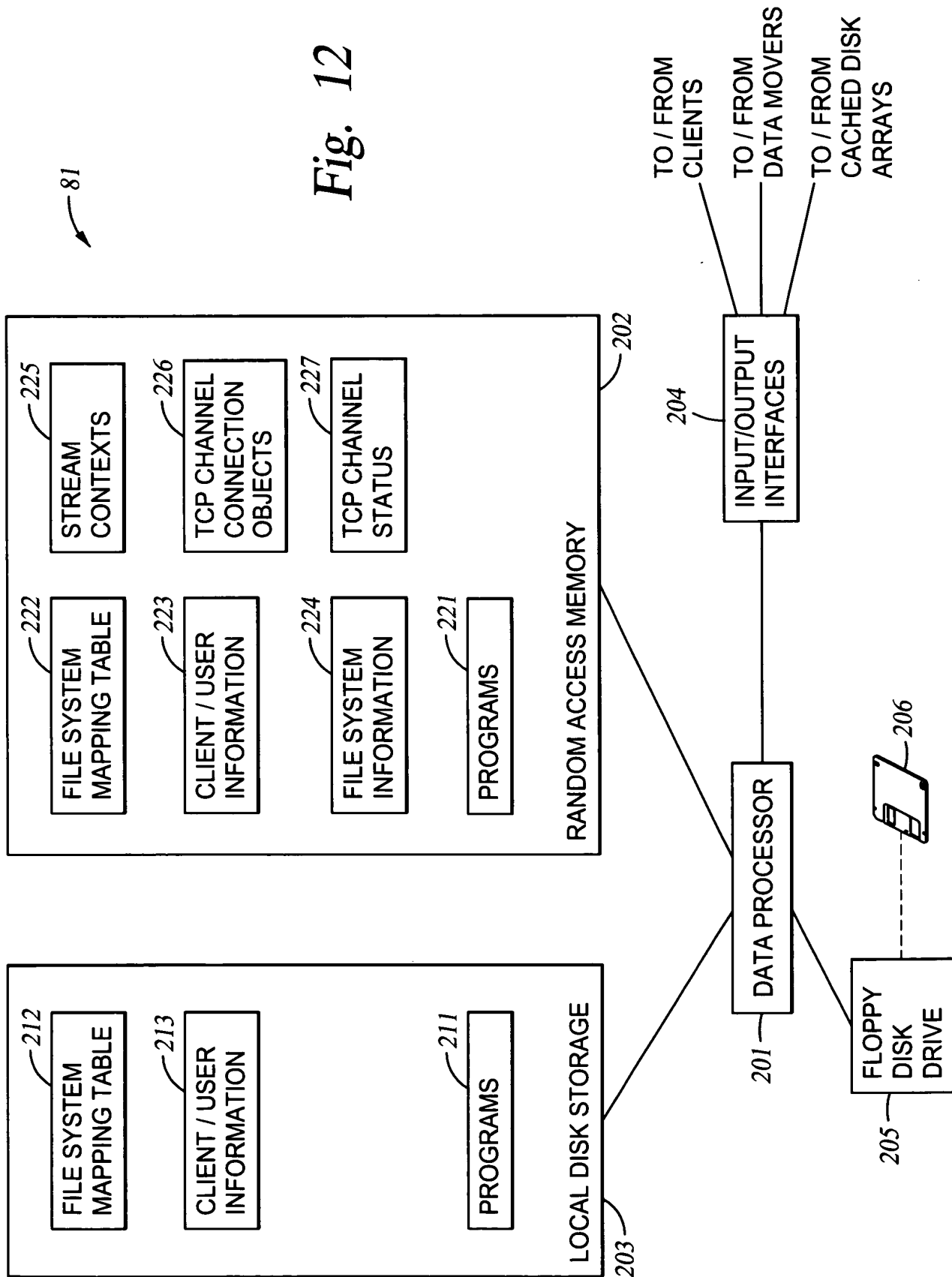
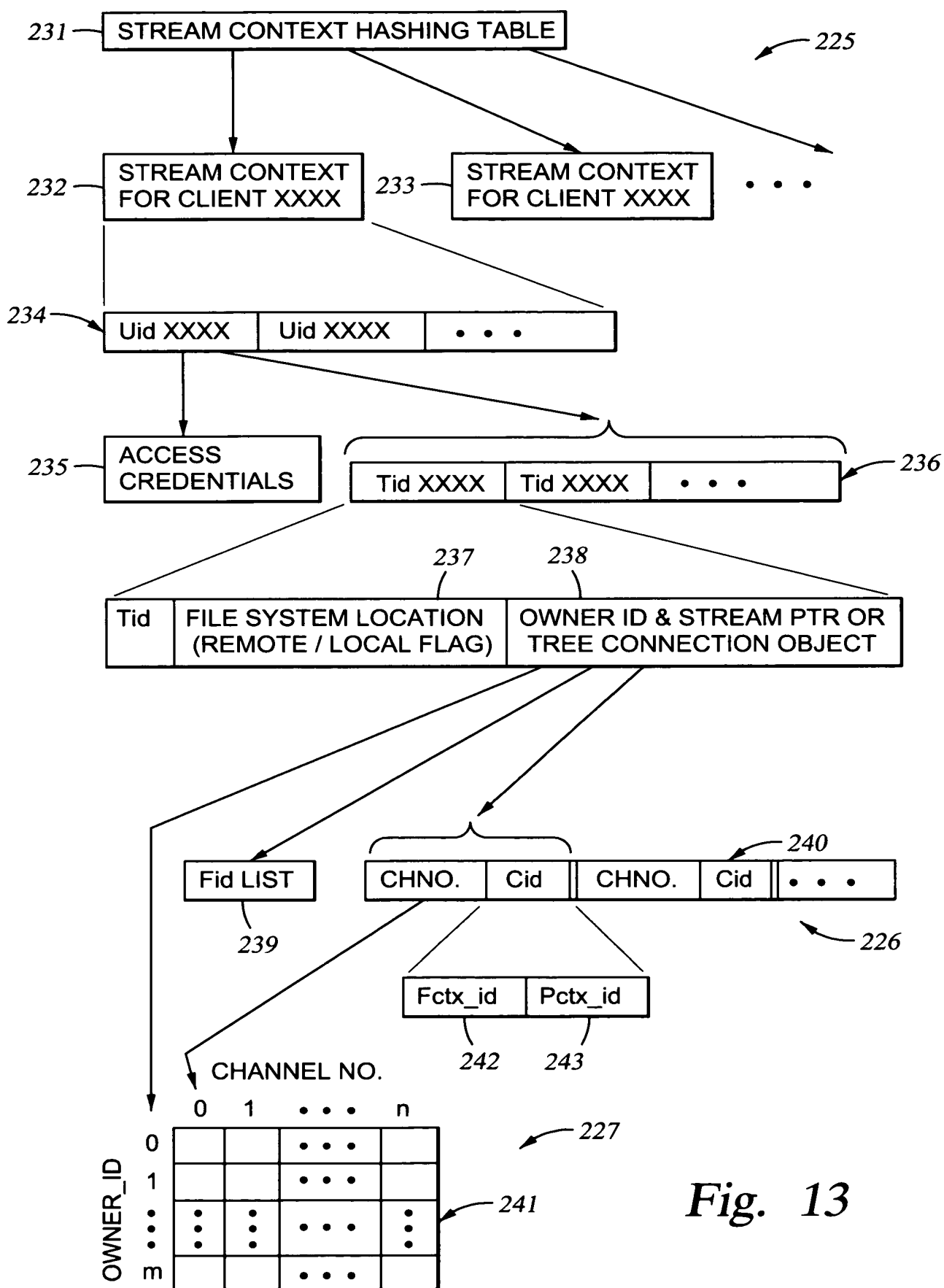


Fig. 17





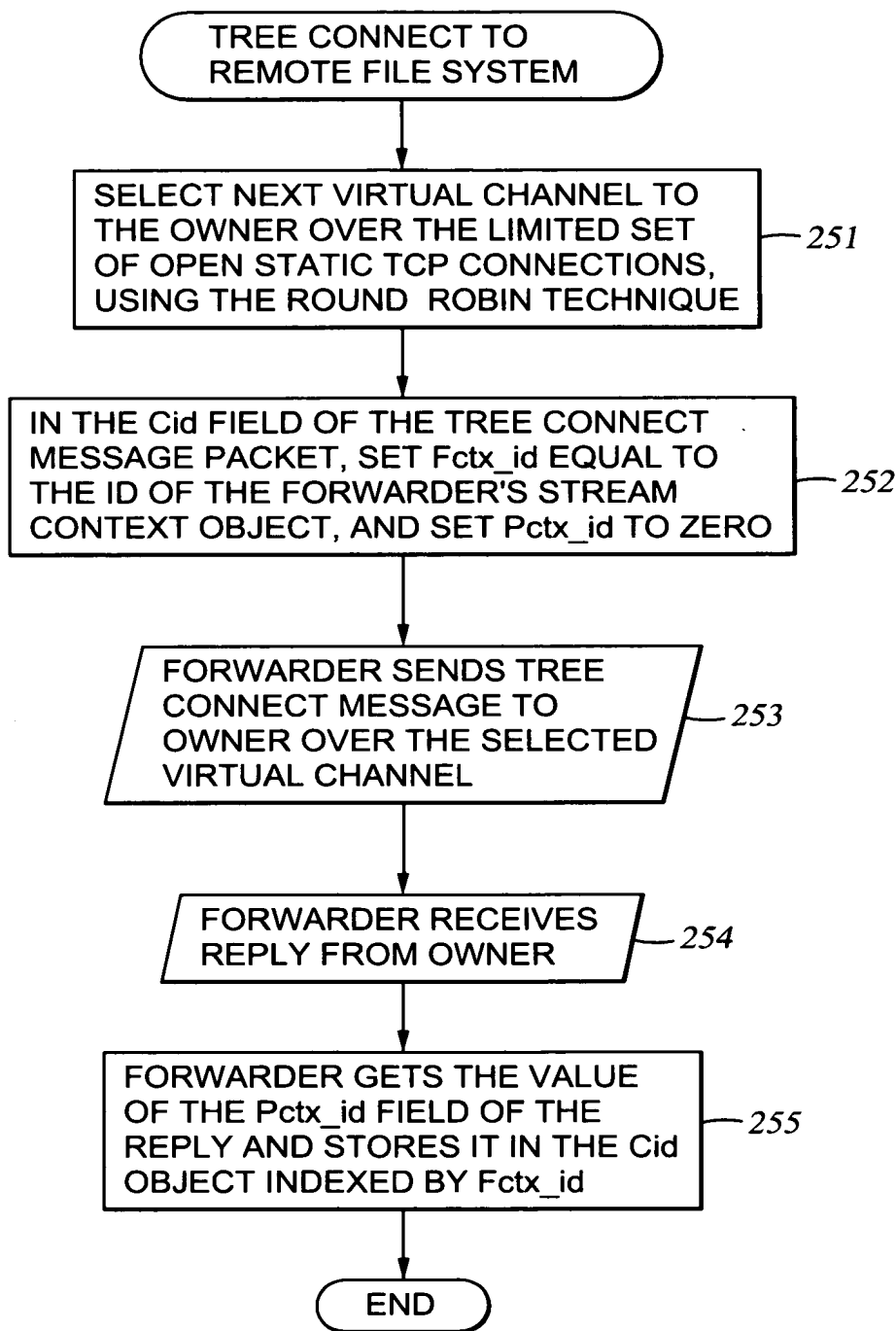
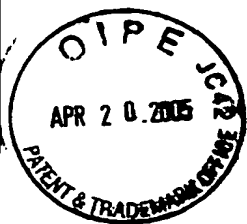


Fig. 14

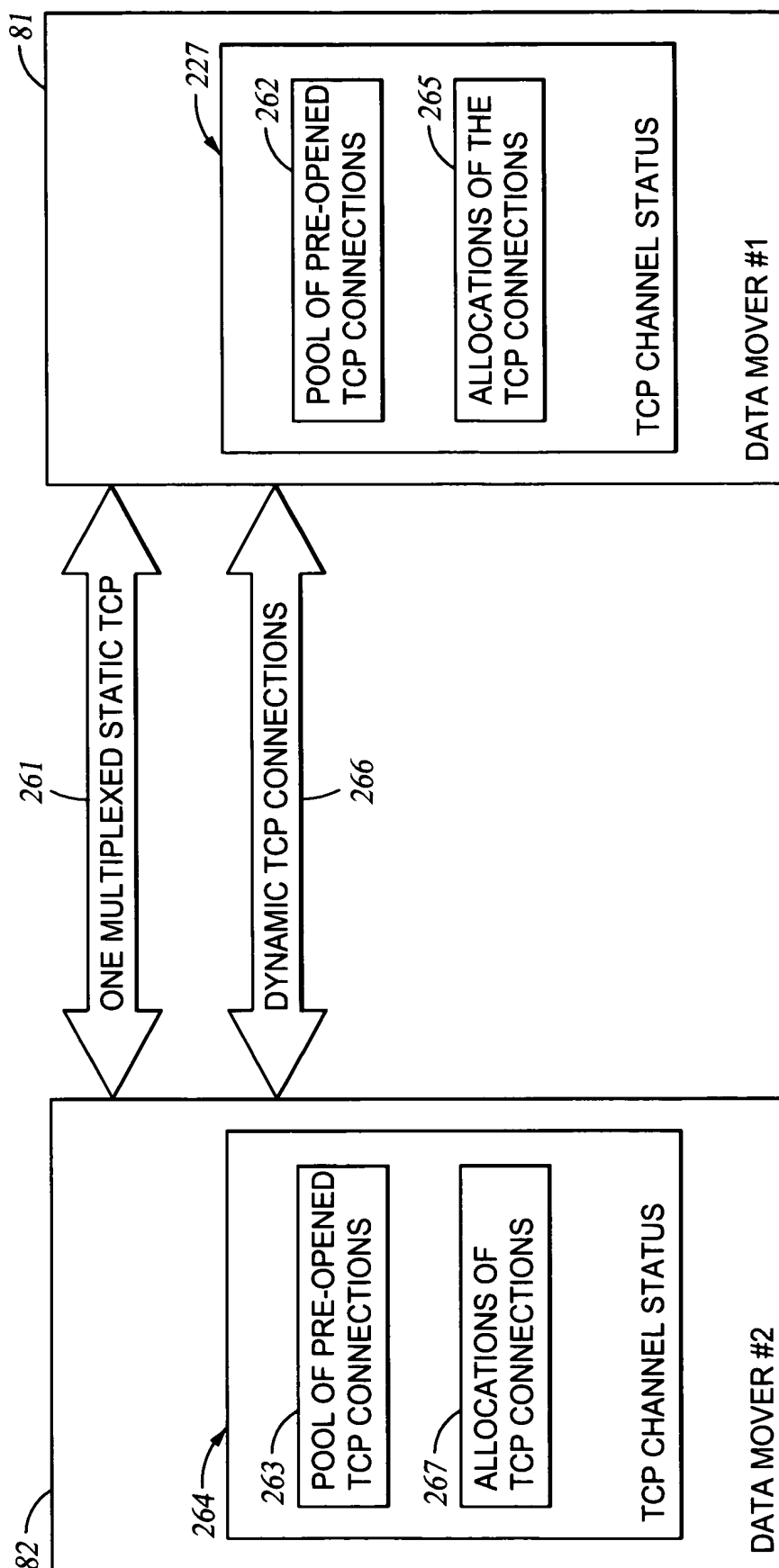


Fig. 15

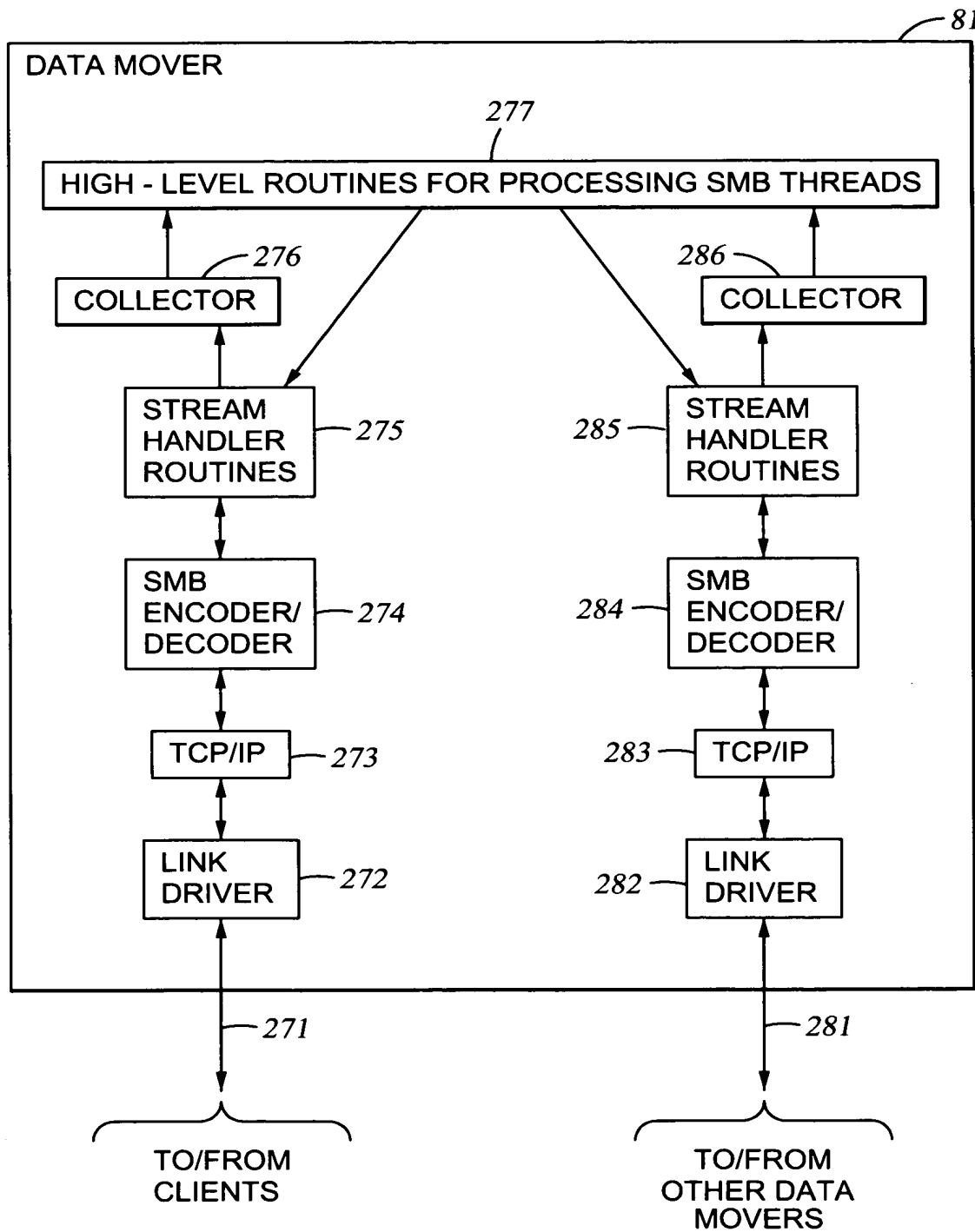


Fig. 16

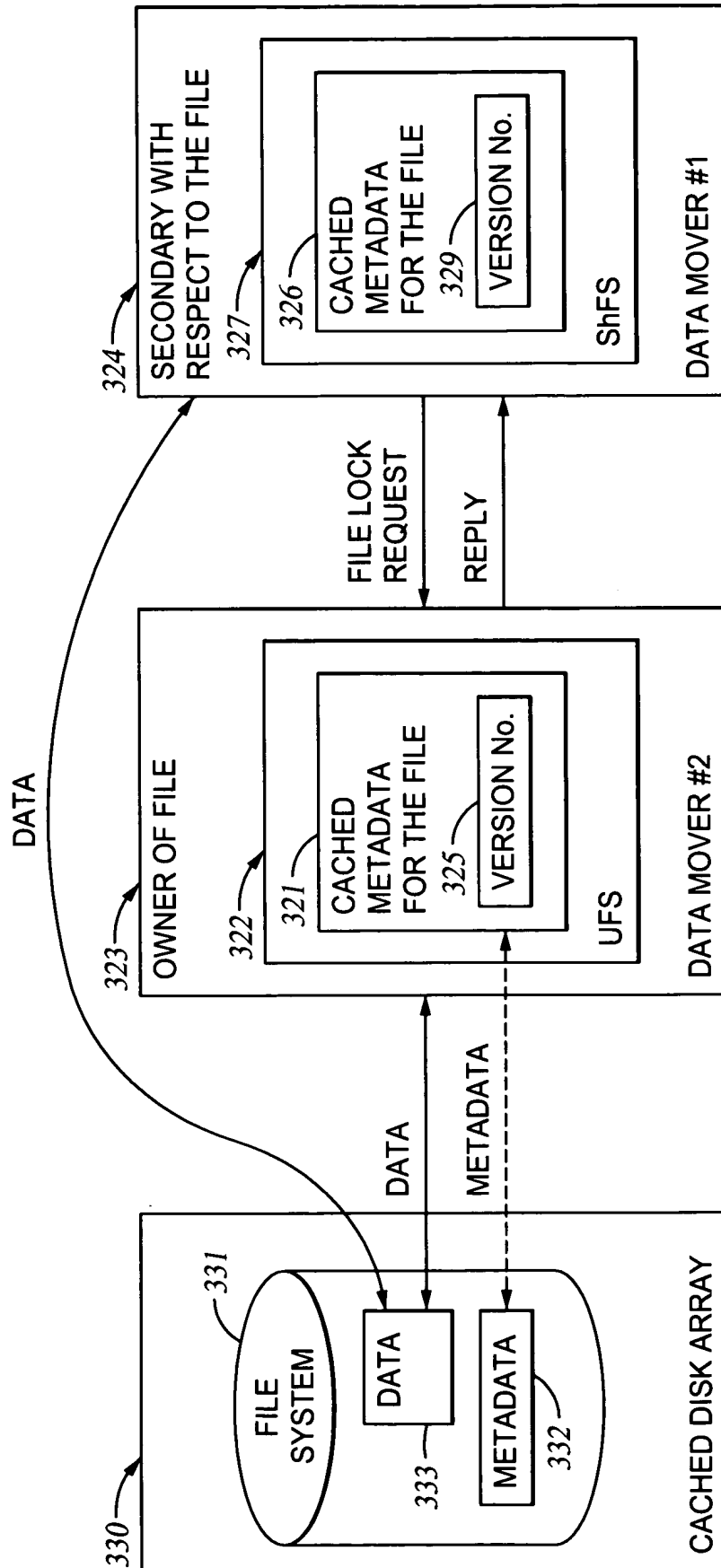


Fig. 18

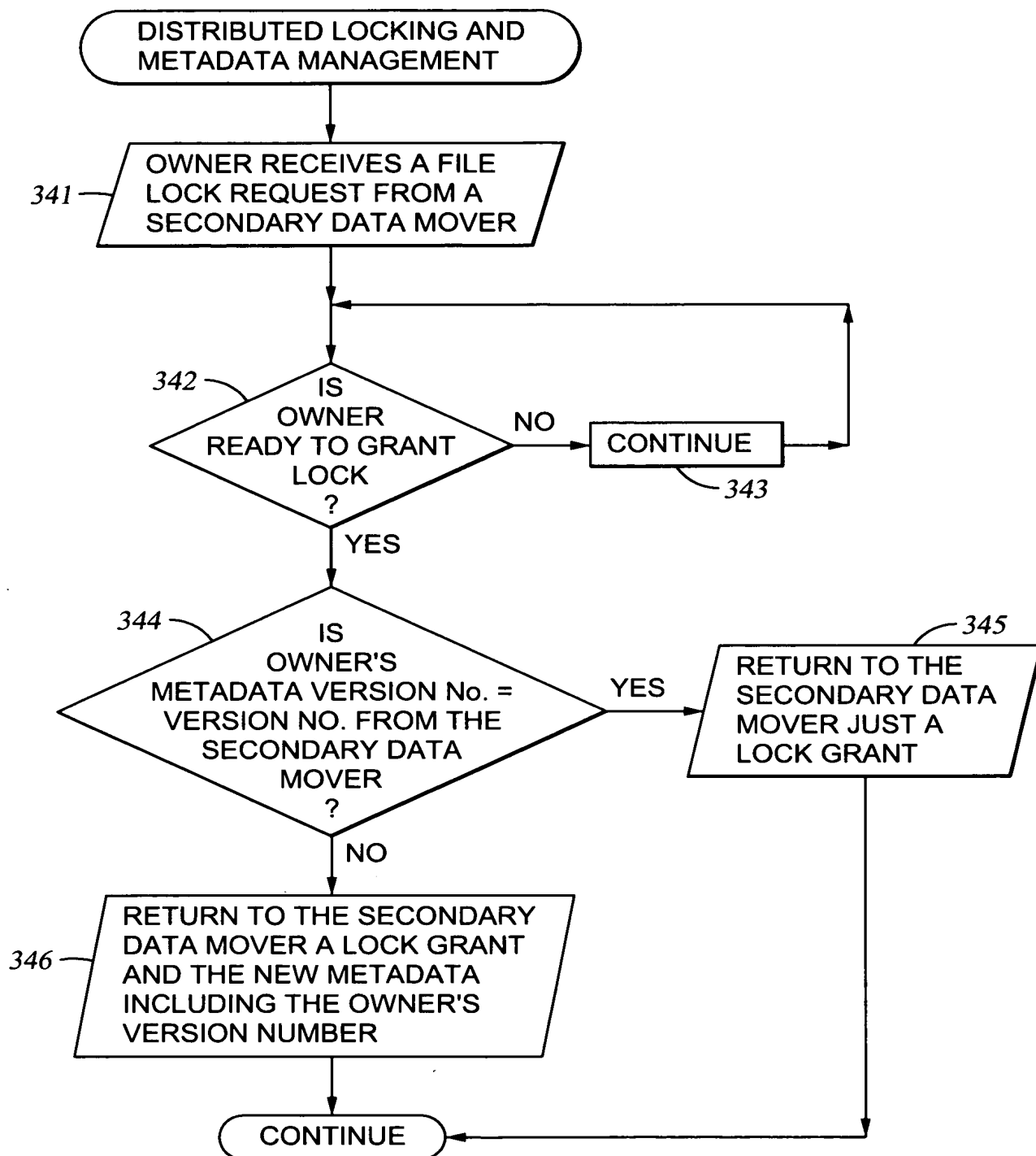


Fig. 19

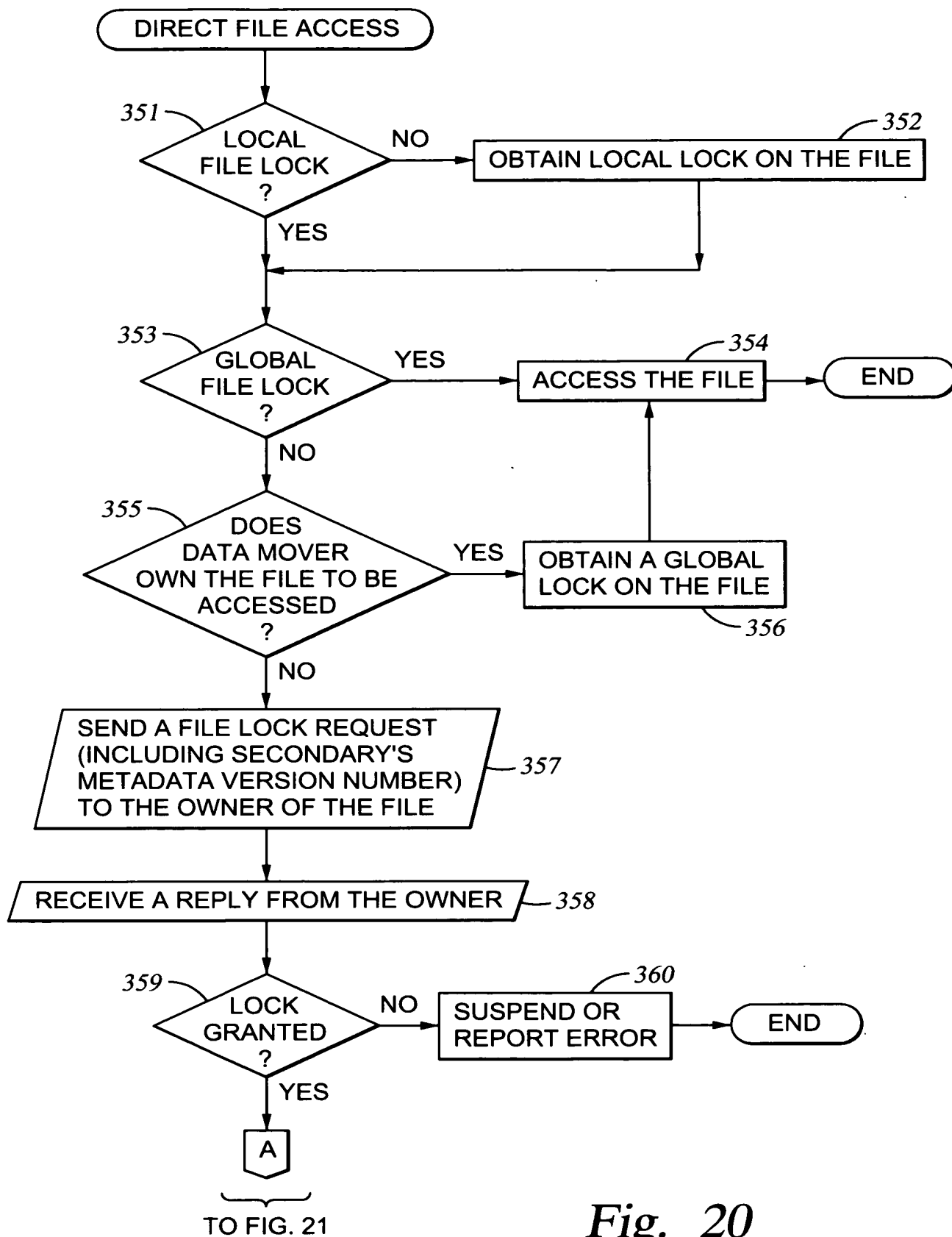
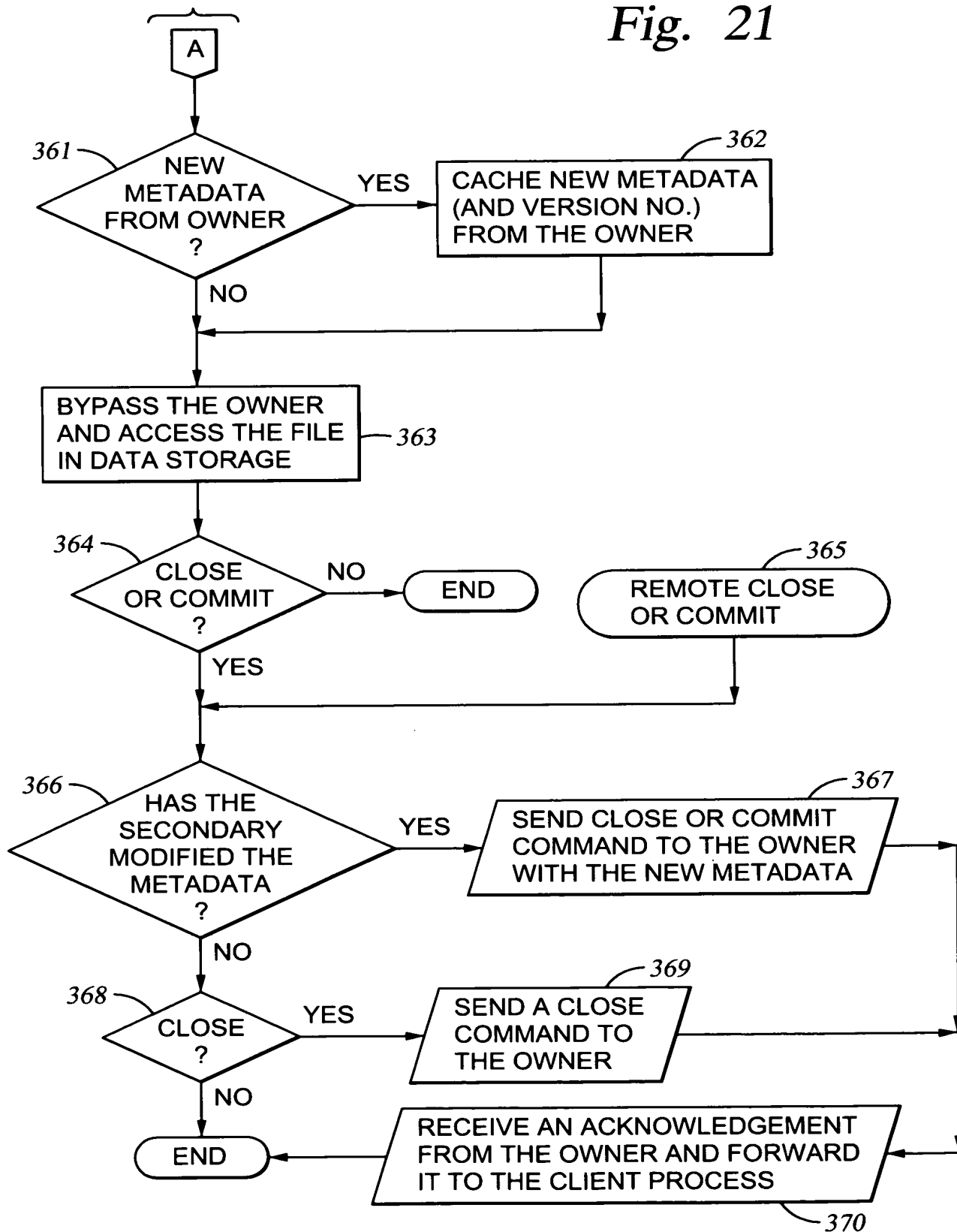


Fig. 20



FROM FIG. 20

Fig. 21



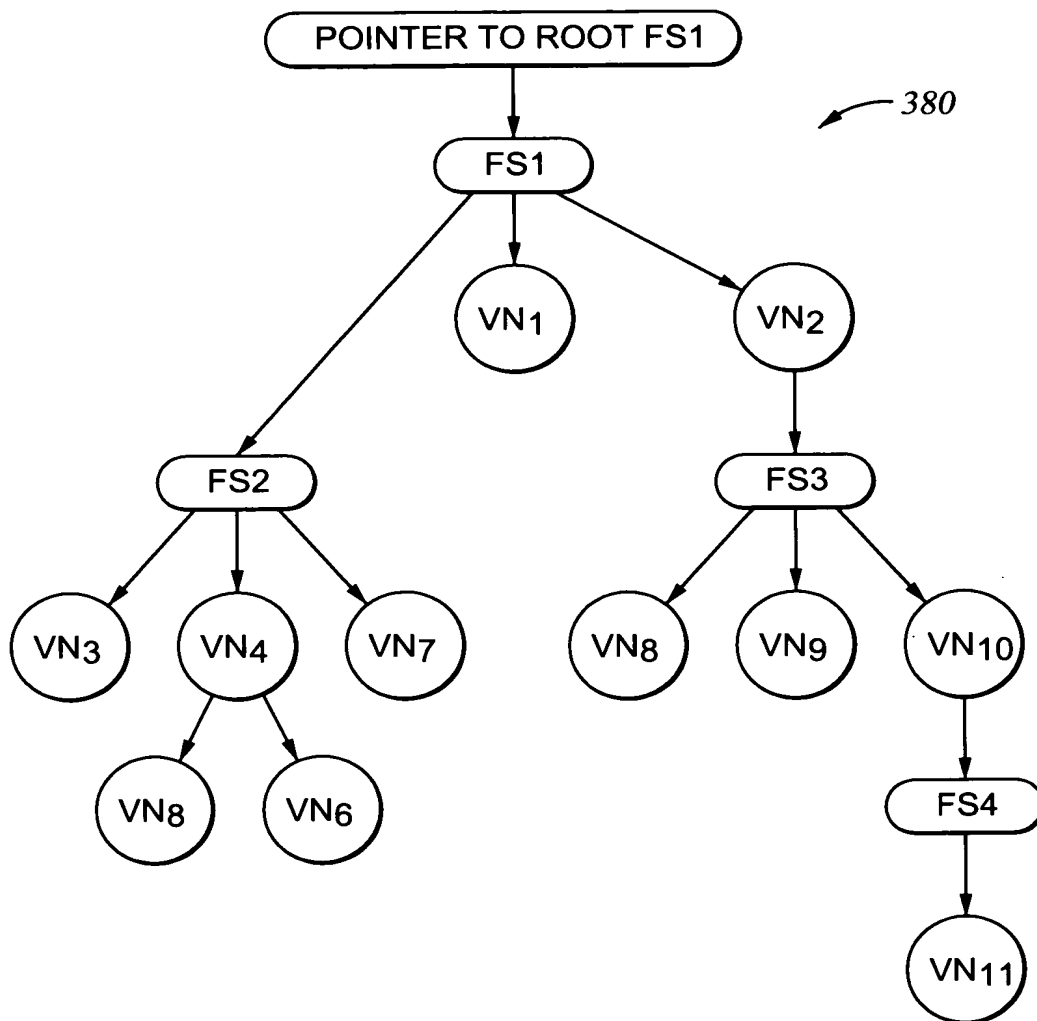


Fig. 22
(PRIOR ART)

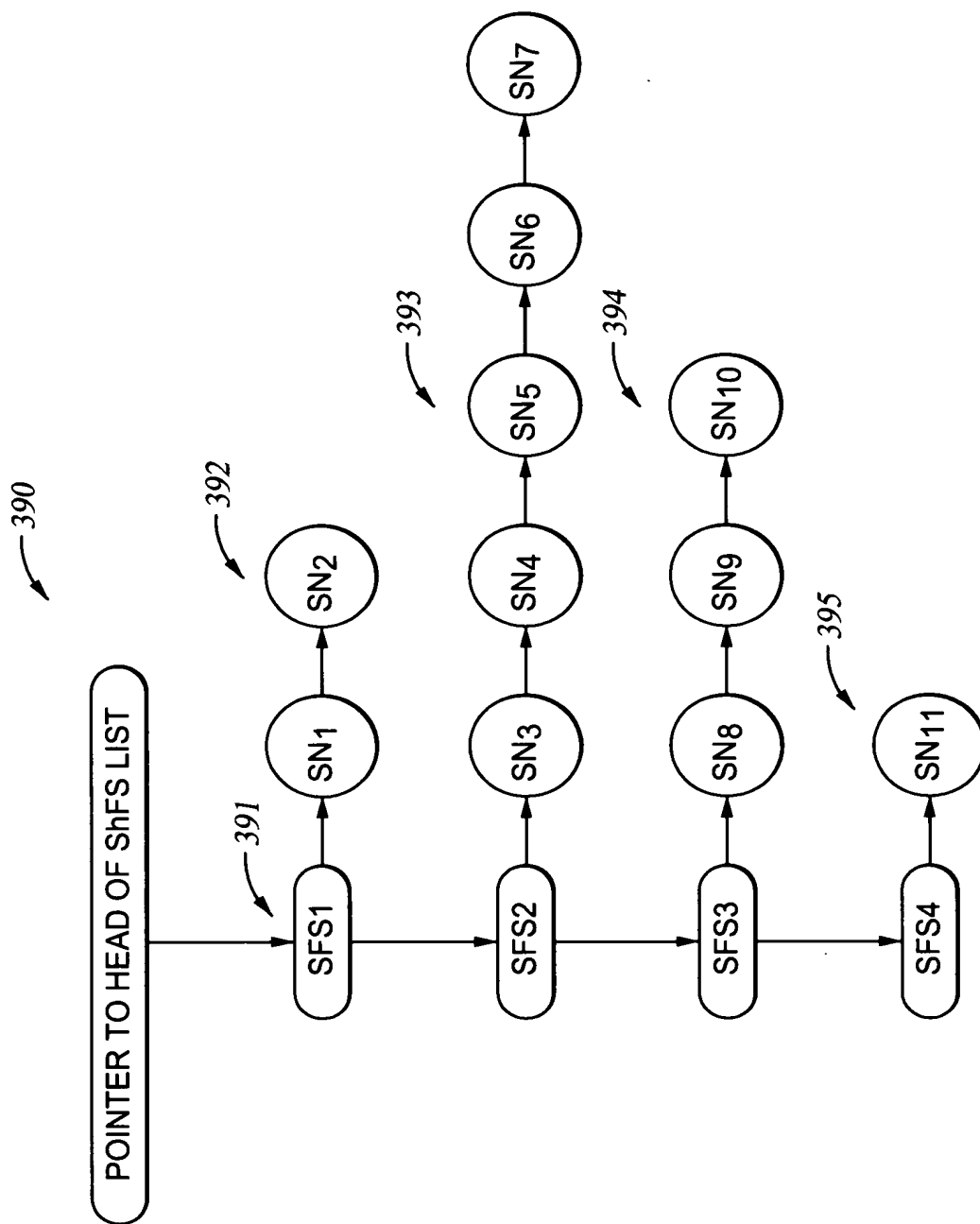
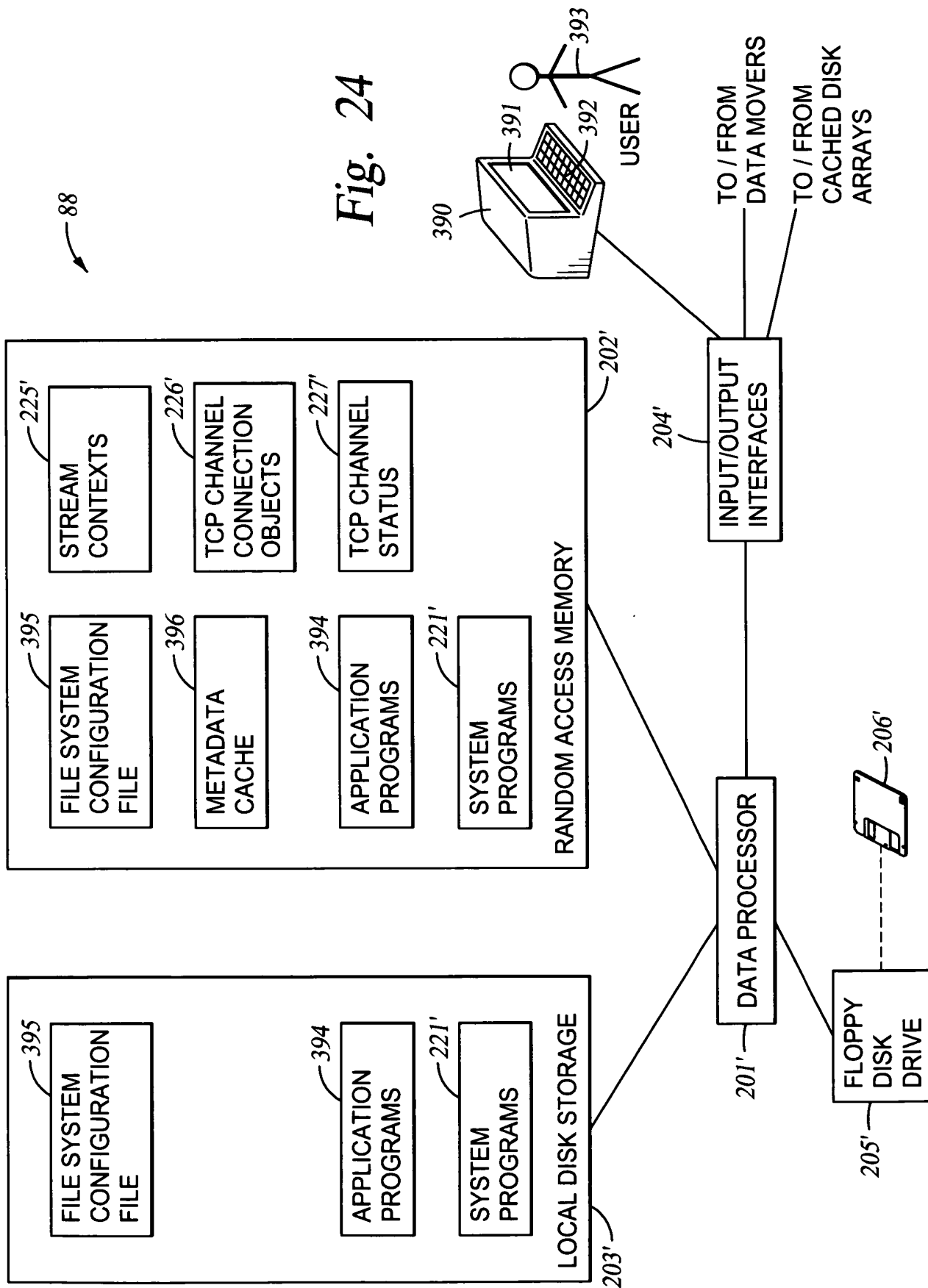


Fig. 23



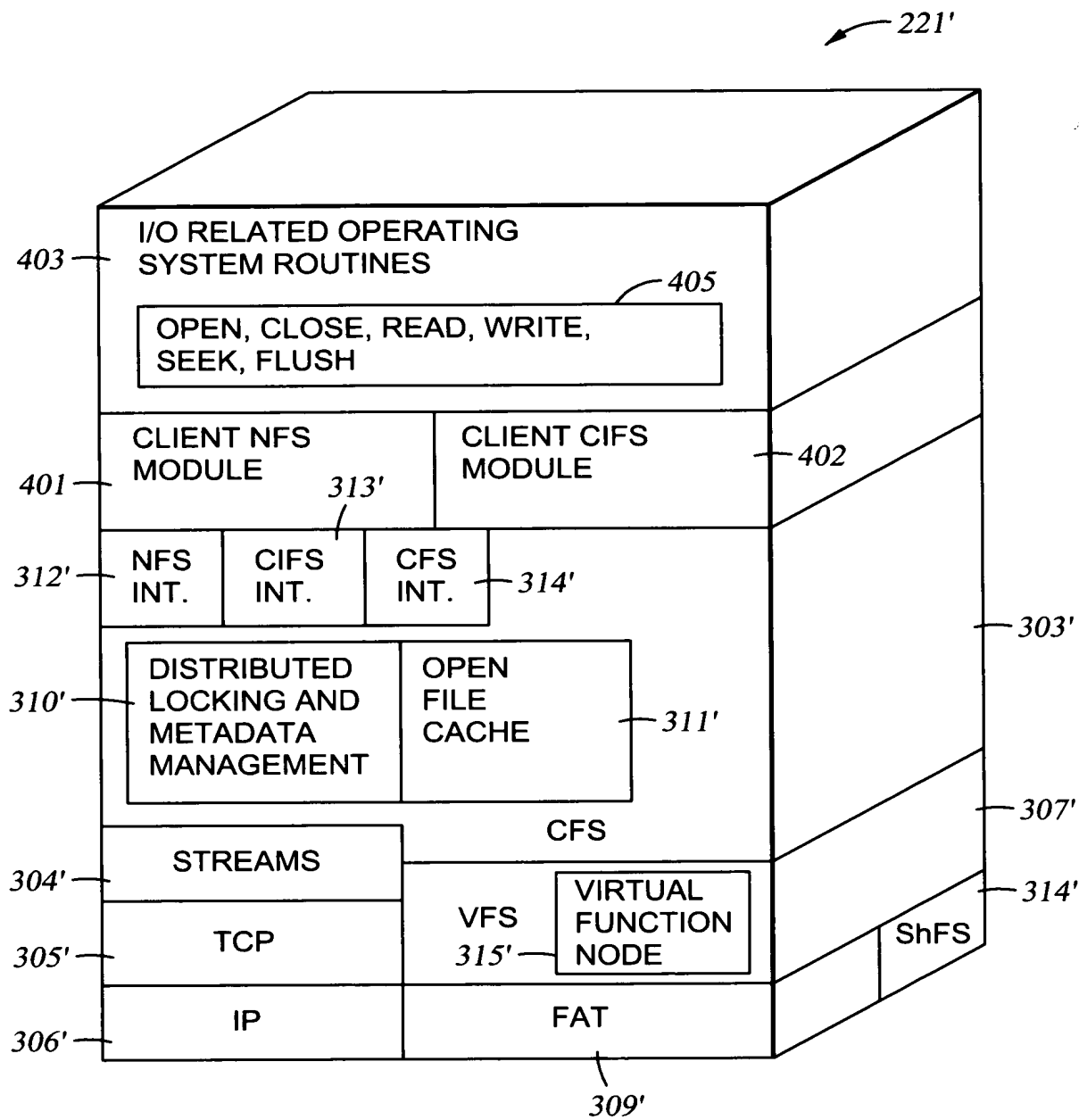


Fig. 25

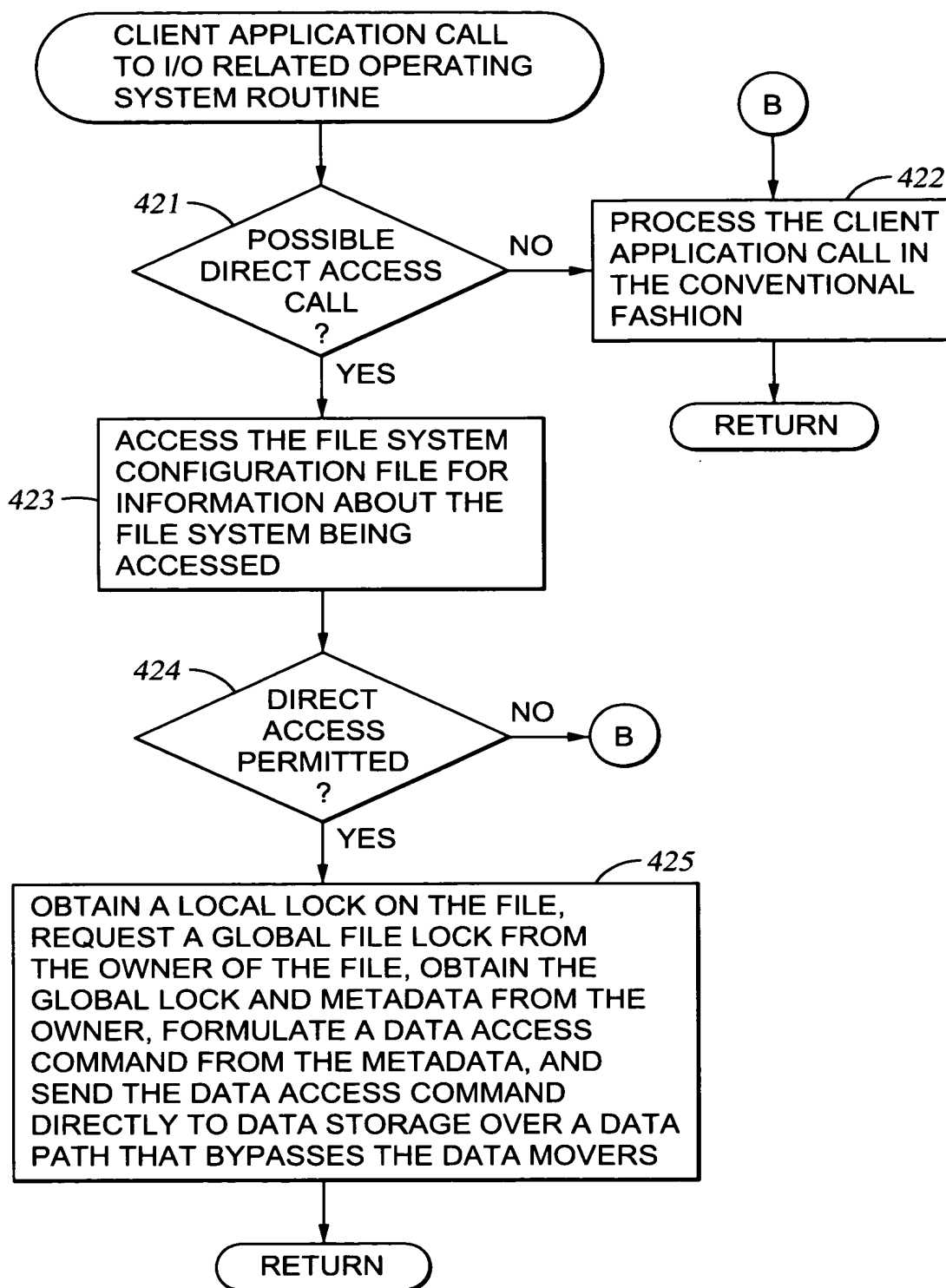


Fig. 26